

1. 弹道输运和量子输运

弹道输运定义：电子的平均自由程大于导电沟道的长度时，电子通过沟道基本不会遇到散射。这种输运行为我们称之为弹道输运。

量子输运定义：相位相干长度大于器件的特征长度。

2. 一维 Landau 方程

一维Landauer Formula



Higher

+ 关注她

20 人赞同了该文章

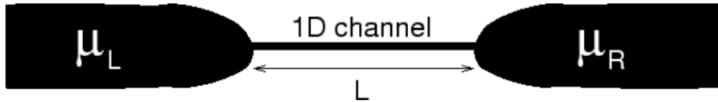
Landauer Formula 是计算低温下channel中的电导的公式，常表达为

$$G(\mu) = G_0 \sum_n T_n(\mu),$$

其中 $G_0 = e^2/(\pi\hbar)$ ，叫做conductance quantum， T_n 是传输系数。

1.低温下的电导

考虑下一维模型，channel长度为L，两边为两个化学势（外加能量）为 μ_L, μ_R 的电子“库”，且 $\mu_L > \mu_R$ ，我们假设温度T=0，没有反射、散射等复杂过程。



费米狄拉克分布函数：

$$f(E - E_F) = \frac{1}{1 + e^{\beta(E - E_F)}},$$

0K时的费米狄拉克分布退化为一个阶跃函数，即

$$\lim_{T \rightarrow 0} f(E - E_F) = \theta(E_F - E)$$

总电子数 $N = 2 \sum_k f[E(k)]$ ，系数2表示电子的两种自旋。

把求和变成积分(记得是一维)：

$$\sum_k \rightarrow \frac{L}{2\pi} \int dk$$

所以电子的体（线）密度为：

$$n = \frac{N}{L} = \frac{2}{L} \sum_k f[E(k)]$$

从左向右的电流可以表示为：

$$I_{\rightarrow} = \frac{2e}{L} \sum_{k>0} v_i(k) f(E - \mu_L)$$

变为对k积分

$$I_{\rightarrow} = \frac{e}{\pi} \int_0^{\infty} v_i(k) f(E - \mu_L) dk$$

变为对E积分（带入 $v = \sqrt{\frac{2E}{m}}$ ， $E = \frac{\hbar^2 k^2}{2m}$ ）

$$I_{\rightarrow} = \frac{2e}{h} \int_0^{\infty} f(E - \mu_L) dE$$

同样地，可以写出从右向左的电流：

$$I_{\leftarrow} = \frac{2e}{h} \int_0^{\infty} f(E - \mu_R) dE$$

因此，总电流为：

$$I = I_{\rightarrow} - I_{\leftarrow} = \frac{2e^2}{h} \frac{\mu_L - \mu_R}{e}$$

其中 $V = \frac{\mu_L - \mu_R}{e}$ 就是两端的电压，根据电导公式 $G = \frac{I}{V}$ 得：

$$G = \frac{2e^2}{h}$$

在低温下，channel的电阻为0，也就是说电子从左边出发到达右边时，在channel中运动并不消耗能量，消耗的能量全部来自于库与channel的接触点，因此，1/G也被称为接触电阻。

现在我们可以去掉接触点无反射点假设，设电流的透射率为 τ ，那么总电流变为：

$$I = \frac{2e^2}{h} \tau \frac{\mu_L - \mu_R}{e},$$

$$G = \frac{2e^2}{h} \tau$$

这就是Landauer Formula，这是在我们的前提假设 $T = 0K$ 下成立的。在L比较小的channel

中, 可以近似地借用谐振子模型进行分析, channel中横向的允许能量为 $E_n = (n - \frac{1}{2})\hbar\omega$, 因此 $G - \mu$ 图呈现出阶梯的形状, 以 $\frac{2e^2}{h}$ 为G的量子化单位, 纵坐标的数字表示参与产生G的电子模式数。(见文末图)

2. 高温的Landauer formula

对于 $T \neq 0K$ 的情况, 我们费米狄拉克分布函数不再是简单的阶跃函数, 故 $f(E - \mu)$ 的积分差也不再是简单的 $\mu_L - \mu_R$, 此时的总电流变为

$$I = \frac{2e}{h} \int_0^\infty [f(E - \mu_L) - f(E - \mu_R)] \tau dE$$

带入分布函数得

$$I = \frac{2e}{h} \int_0^\infty \left[\frac{1}{1 + e^{\beta(E - \mu_L)}} - \frac{1}{1 + e^{\beta(E - \mu_R)}} \right] \tau dE$$

下面计算这个积分:

$$\int_0^\infty \frac{1}{1 + e^{\beta(E - \mu_L)}} dE - \int_0^\infty \frac{1}{1 + e^{\beta(E - \mu_R)}} dE$$

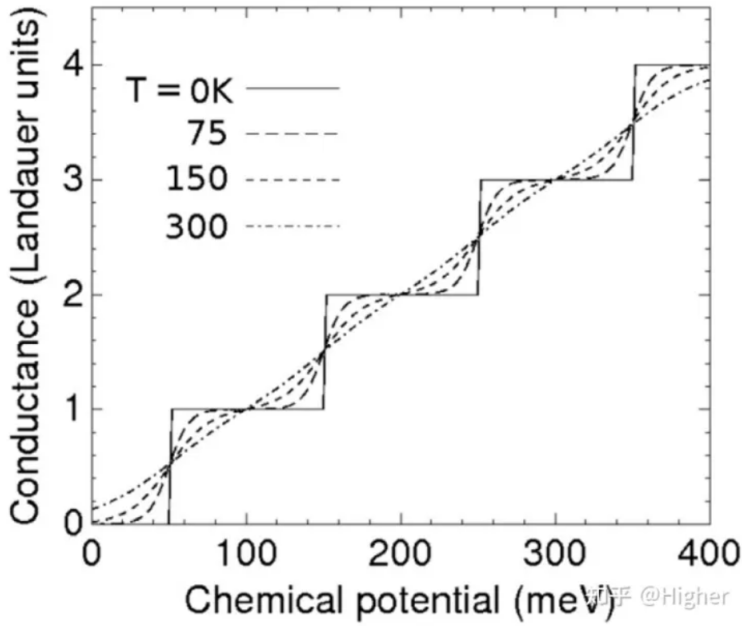
$$= \int_{-\mu_L}^\infty \frac{1}{1 + e^{\beta E'}} dE' - \int_{-\mu_R}^\infty \frac{1}{1 + e^{\beta E'}} dE'$$

$$= -\frac{1}{\beta} \ln(1 + e^{-\beta E}) \Big|_{-\mu_L}^{-\mu_R}$$

$$= -\frac{1}{\beta} \ln\left(\frac{1 + e^{-\beta\mu_R}}{1 + e^{-\beta\mu_L}}\right),$$

$$I = -\frac{1}{\beta} \frac{2e}{h} \tau \ln\left(\frac{1 + e^{-\beta\mu_R}}{1 + e^{-\beta\mu_L}}\right)$$

可以用数值方法计算出电导随 μ_R 的变化曲线 ($\mu_L - \mu_R$ 为恒定值)



编辑于 2021-11-01 11:24

3. 参数泵浦

The physical mechanism for adiabatic (parametric) pumping is as follows. The infinitesimal change of system parameters δX_i (for a time δt) leads to a redistribution of the charge within (and around) the system. The redistribution of the charge is a consequence of the variation of the electron density of states and produces electron flows through the system¹³ $I_i(X_1, X_2) = \delta Q_i / \delta t$, where $\delta Q_i(X_1, X_2) = e dn / dX_i \delta X_i$, $i = 1, 2$. These currents (and the pumping effect) are thus a consequence of the changing electrostatic landscape.

Parametric electron pump¹⁻⁸ is an interesting device, which delivers a finite dc current to the outside world at zero bias potential by cyclic variations of two device-control parameters. Recently, an adiabatic quantum electron pump was